



A Worst-Case Optimal Join Algorithm for SPARQL

Integrantes:

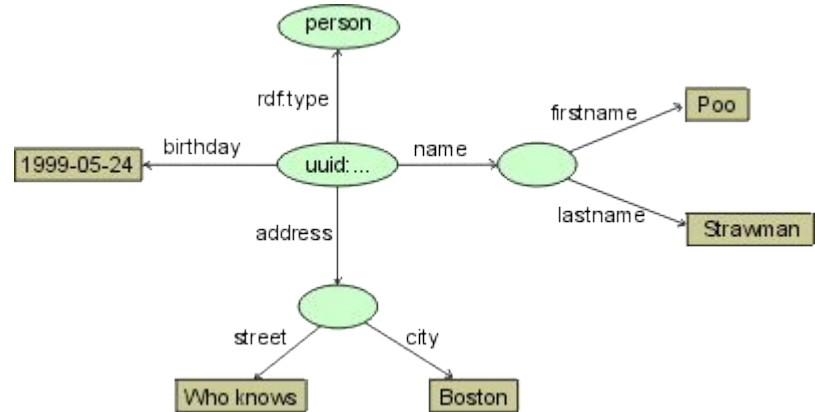
- Gabriel Aguirre
- Benjamín Farías
- Juan Hernández
- Benjamín Lepe



Conceptos Preliminares - RDF

¿Qué es **RDF** (*Resource Description Framework*)?

- Modelo de datos que funciona de forma conceptual, utilizado para recursos de la web.
- Declaraciones en formato: **sujeto, predicado, objeto** (S-P-O).
- **RDF terms** son *Blank Nodes*, *Literals* y *IRIs*.



Conceptos Preliminares - SPARQL



¿Qué es SPARQL?

- Lenguaje de consultas utilizado en bases de datos de tipo **RDF**.
- Se basa en conjuntos de *triple patterns* que tienen la misma forma que los modelos **RDF**. Estos conjuntos se denominan *basic graph patterns*.
- Ampliamente utilizado para obtener recursos desde la web.

```
PREFIX  dc: <http://purl.org/dc/elements/1.1/>
SELECT  ?title
WHERE   { <http://ejemplo.org/libros> dc:title ?title }
```

Conceptos Preliminares - SPARQL Semantics

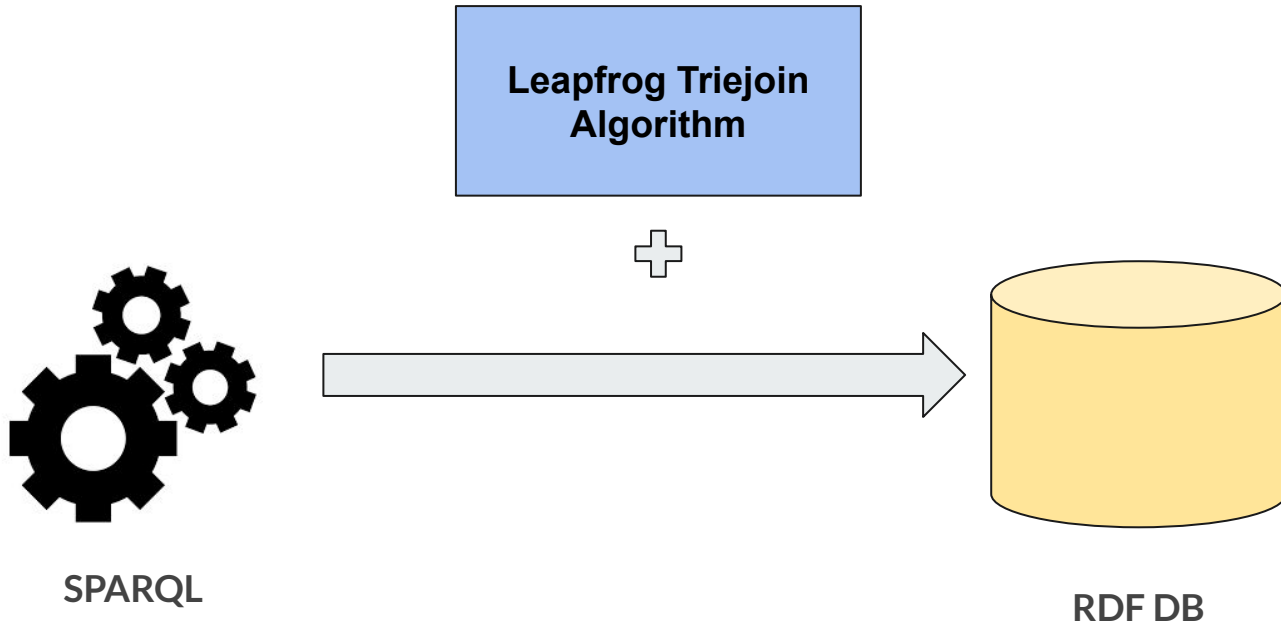


Mapping Function: $\mu : \mathbf{V} \rightarrow \mathbf{IBL}$

Compatible Mappings: $\mu_1 \sim \mu_2 \Leftrightarrow \mu_1(?x) = \mu_2(?x) \quad \forall ?x \in \text{dom}(\mu_2) \cap \text{dom}(\mu_1)$

Mapping Sets Join: $\Omega_1 \bowtie \Omega_2 = \{\mu_1 \cup \mu_2 \mid \mu_1 \in \Omega_1, \mu_2 \in \Omega_2, \text{ and } \mu_1 \sim \mu_2\}$

Idea Principal



Trabajo Relacionado



- **Indexing:** SPARQL permite indexar *triples* de manera eficiente. Uso de *Nested Data Structures* o *B+Trees*.

Trabajo Relacionado



- **Indexing:** SPARQL permite indexar *triples* de manera eficiente. Uso de *Nested Data Structures* o *B+Trees*.
- **Pairwise Joins:** SPARQL normalmente utiliza variantes de algoritmos de join utilizados en bases de datos relacionales, como *nested-loop joins* o *hash joins*.

Trabajo Relacionado



- **Indexing:** SPARQL permite indexar *triples* de manera eficiente. Uso de *Nested Data Structures* o *B+Trees*.
- **Pairwise Joins:** SPARQL normalmente utiliza variantes de algoritmos de join utilizados en bases de datos relacionales, como *nested-loop joins* o *hash joins*.
- **Multiway Joins:** SMJoin es un algoritmo creado para SPARQL que utiliza multiway joins, sin embargo, pairwise joins son más eficientes en ciertas consultas.

Trabajo Relacionado



- **Indexing:** SPARQL permite indexar *triples* de manera eficiente. Uso de *Nested Data Structures* o *B+Trees*.
- **Pairwise Joins:** SPARQL normalmente utiliza variantes de algoritmos de join utilizados en bases de datos relacionales, como *nested-loop joins* o *hash joins*.
- **Multiway Joins:** SMJoin es un algoritmo creado para SPARQL que utiliza multiway joins, sin embargo, pairwise joins son más eficientes en ciertas consultas.
- **Worst-Case Optimal Joins:** Se han aplicado en diversas áreas incluyendo grafos, pero ningún trabajo se había enfocado en aplicarlo sobre SPARQL.

Leapfrog Join for Basic Graph Patterns (LFJ)



Se divide en **dos fases** principales:

- **Leapfrog:** Evalúa **una** variable.
- **Eliminación de Variables:** Evalúa **múltiples** variables.

Leapfrog



Calcular los *non-trivial outputs* de una sola variable:

$$\text{LF}_G(P, ?\mathbf{x}) = \{\mu \mid \text{dom}(\mu) = \{?\mathbf{x}\} \text{ and } \llbracket \mu(t) \rrbracket_G \neq \emptyset \text{ for all } t \in P\}$$

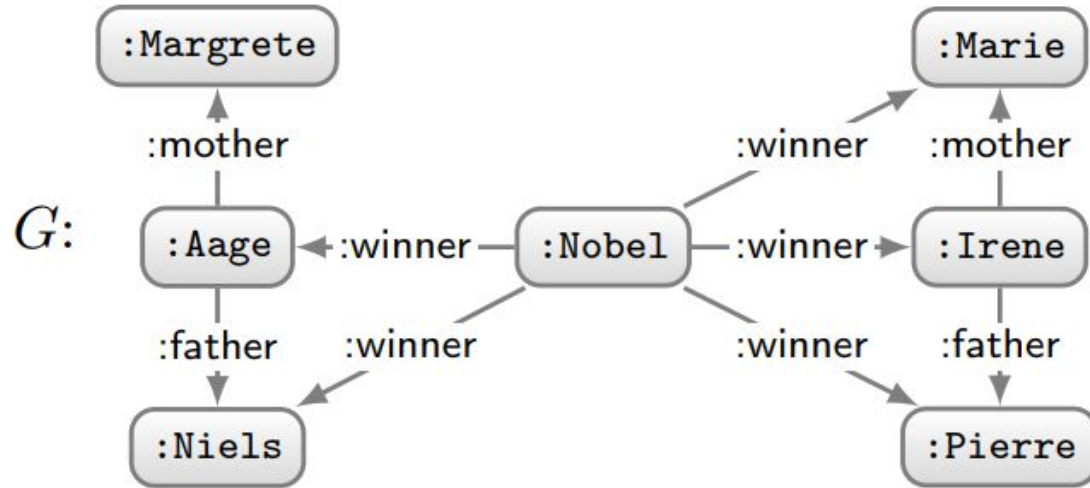
Eliminación de Variables

Algorithm 1: Variable elimination for basic graph patterns

input : RDF graph G , BGP P , variable order $O_{\text{var}} = ?x_1 \dots ?x_n$
output: All mappings $\llbracket P \rrbracket_G$.

```
1 Function LFTJ-Eval ( $G, P, O_{\text{var}}$ )
2    $\mu_0 \leftarrow \emptyset$ 
3   foreach  $\mu \in \text{LF}_G(\mu_0(P), ?x_1)$  do
4      $\mu_1 \leftarrow \mu_0 \cup \mu$ 
5     foreach  $\mu \in \text{LF}_G(\mu_1(P), ?x_2)$  do
6        $\mu_2 \leftarrow \mu_1 \cup \mu$ 
7      $\vdots$ 
8       foreach  $\mu \in \text{LF}_G(\mu_{n-1}(P), ?x_n)$  do
9         Output  $\mu_{n-1} \cup \mu$  // write to output and continue
```

Ejemplo del Algoritmo LFJ



P:

- $(?x_1, :winner, ?x_2)$
- $(?x_1, :winner, ?x_3)$
- $(?x_1, :winner, ?x_4)$
- $(?x_2, :father, ?x_3)$
- $(?x_2, :mother, ?x_4)$

Operador Físico - Implementación



Framework:

- Motor de base de datos para RDF
- Utiliza *Nested-Loop Joins* sobre índices *B+Tree*



Implementación de Leapfrog Join (LFJ):

- Índices
- Orden de Variables
- Optimización

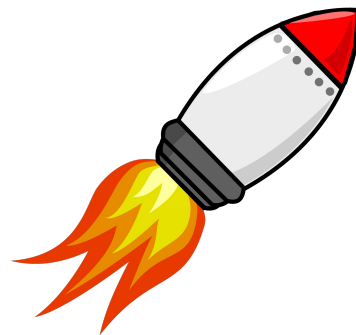
Operador Físico - Índices

Condición para que LFJ sea Worst-Case Optimal:

Theorem 1. *An implementation of Leapfrog Join is worst-case optimal if, for every RDF graph G , basic graph pattern P , and variable $?x$, the computation of $LF_G(P, ?x)$ is done in time at most:*

$$O\left(\max\left(\min_{t \in P: ?x \in \text{var}(t)} |\pi_{?x}(\llbracket t \rrbracket_G)|, 1\right) \cdot \log(|G|)\right)$$

where $\pi_{?x}(\llbracket t \rrbracket_G)$ is the projection of $\llbracket t \rrbracket_G$ over $?x$.

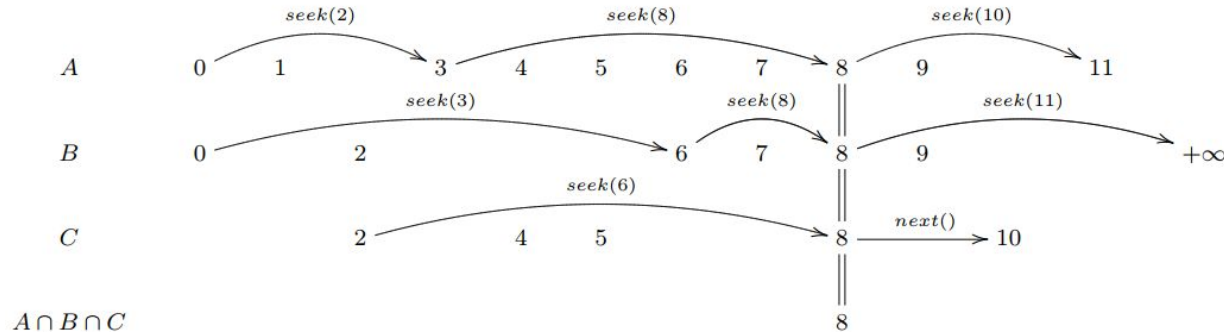


Operador Físico - Índices

Triple Patterns: (1, 1, ?x), (2, ?x, 0)

$$O\left(\max\left(\min_{t \in P: ?x \in \text{var}(t)} |\pi_{?x}(\llbracket t \rrbracket_G)|, 1\right) \cdot \log(|G|)\right)$$

El mismo algoritmo de intersección utilizado por **Leapfrog Triejoin!**



Operador Físico - Índices



RDF (S: Sujeto, P: Predicado, O: Objeto)

$$O\left(\max\left(\min_{t \in P: ?x \in \text{var}(t)} |\pi_{?x}(\llbracket t \rrbracket_G)|, 1\right) \cdot \log(|G|)\right)$$

Cambiar los *Tries* por **B+Trees**:

- Jena trae 3 árboles por default: **SPO, POS y OSP**.
- Se añaden 3 más: **SOP, PSO, OPS**.

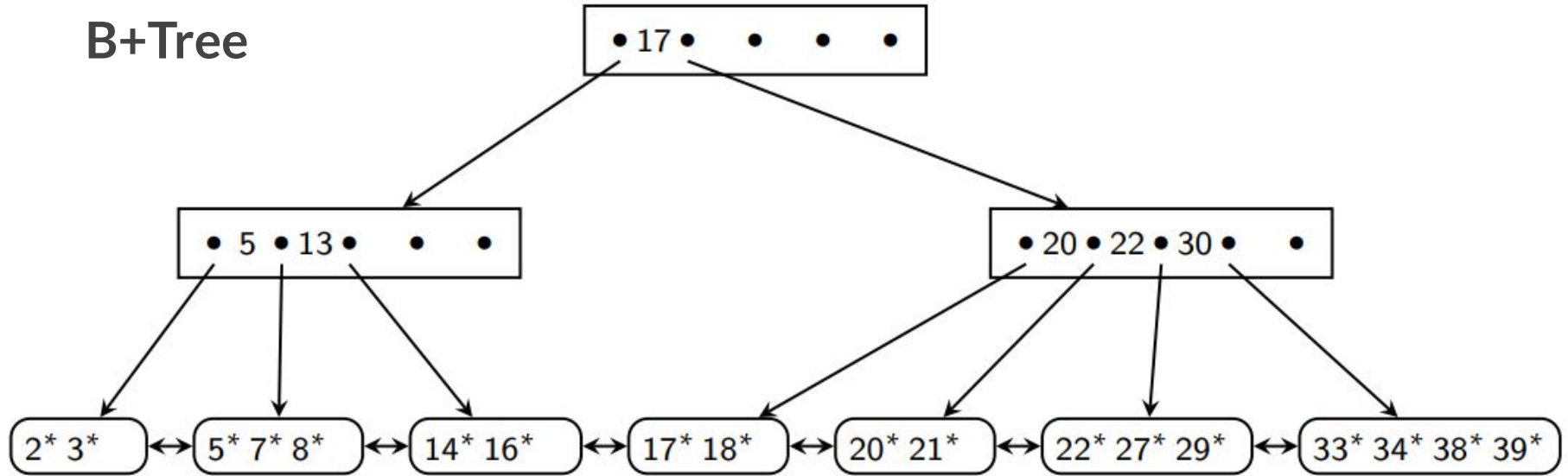
Estos **6 árboles B+Tree** conforman el **nuevo índice** para LFJ!

- Recorrer los árboles de forma *top-down* + almacenar ubicación del **último resultado**
- En el peor caso toma tiempo **logarítmico**



Operador Físico - Índices

B+Tree



Operador Físico - Índices

Condición para que LFJ sea Worst-Case Optimal:

Theorem 1. *An implementation of Leapfrog Join is worst-case optimal if, for every RDF graph G , basic graph pattern P , and variable $?x$, the computation of $LF_G(P, ?x)$ is done in time at most:*

$$O\left(\max\left(\min_{t \in P: ?x \in \text{var}(t)} |\pi_{?x}(\llbracket t \rrbracket_G)|, 1\right) \cdot \log(|G|)\right)$$

where $\pi_{?x}(\llbracket t \rrbracket_G)$ is the projection of $\llbracket t \rrbracket_G$ over $?x$.



El nuevo Leapfrog Join es Worst-Case Optimal!



Operador Físico - Orden de Variables



- El **orden de eliminación de las variables** determina la **eficiencia** del algoritmo
- Buscamos **filtrar** los resultados lo antes posible

Orden Propuesto:

- Dado un orden de los *triple patterns* entregado por **Jena**, por ejemplo:

$$O_{\text{trip}} = (?z, :p3, ?u), (?x, :p2, ?z), (?x, :p1, ?y)$$

- Elegimos primero las **variables de join** y posteriormente las **variables solitarias**:

$$O_{\text{var}} = ?z, ?x, ?u, ?y$$

Operador Físico - Optimización

- Las variables **solitarias** sólo dependen de su propio *triple pattern*!
- Es poco eficiente explorarlas utilizando el LFJ anidado



Algorithm 1: Variable elimination for basic graph patterns

input : RDF graph G , BGP P , variable order $O_{\text{var}} = ?x_1 \dots ?x_n$

output: All mappings $\llbracket P \rrbracket_G$.

1 **Function** LFTJ-Eval (G, P, O_{var})

2 $\mu_0 \leftarrow \emptyset$

3 **foreach** $\mu \in \text{LF}_G(\mu_0(P), ?x_1)$ **do**

4 $\mu_1 \leftarrow \mu_0 \cup \mu$

5 **foreach** $\mu \in \text{LF}_G(\mu_1(P), ?x_2)$ **do**

6 $\mu_2 \leftarrow \mu_1 \cup \mu$

7 \vdots

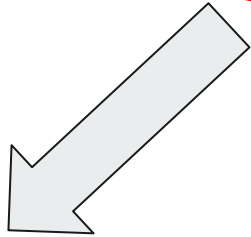
8 **foreach** $\mu \in \text{LF}_G(\mu_{n-1}(P), ?x_n)$ **do**

9 **Output** $\mu_{n-1} \cup \mu$ // write to output and continue

Operador Físico - Optimización

Mejora:

$$O_{\text{var}} = \text{Var. de Join } ?x_1, \dots, ?x_m, \text{ Var. Solitarias } ?x_{m+1}, \dots, ?x_n$$



Leapfrog Join Anidado



Producto Cartesiano

Experimentos - Motores de Prueba

- Apache Jena con LFJ
- Apache Jena sin LFJ [5]
- Virtuoso [3]
- Blazegraph [4]



Experimentos - Sets de Prueba

- Berlin SPARQL Benchmark (BSBM):
 - 10 500 queries
 - 30 predicados distintos
- WatDiv Benchmark:
 - 1 000 queries
 - 85 predicados distintos
 - 20 patterns distintos
 - Sin patrones cíclicos
- Wikidata Graph Pattern Benchmark (WGPPB):
 - 850 queries
 - 2 101 predicados distintos
 - 9 patrones con resultados de única variable
 - 8 patrones con resultados de múltiples variables



Resultados - BSBM

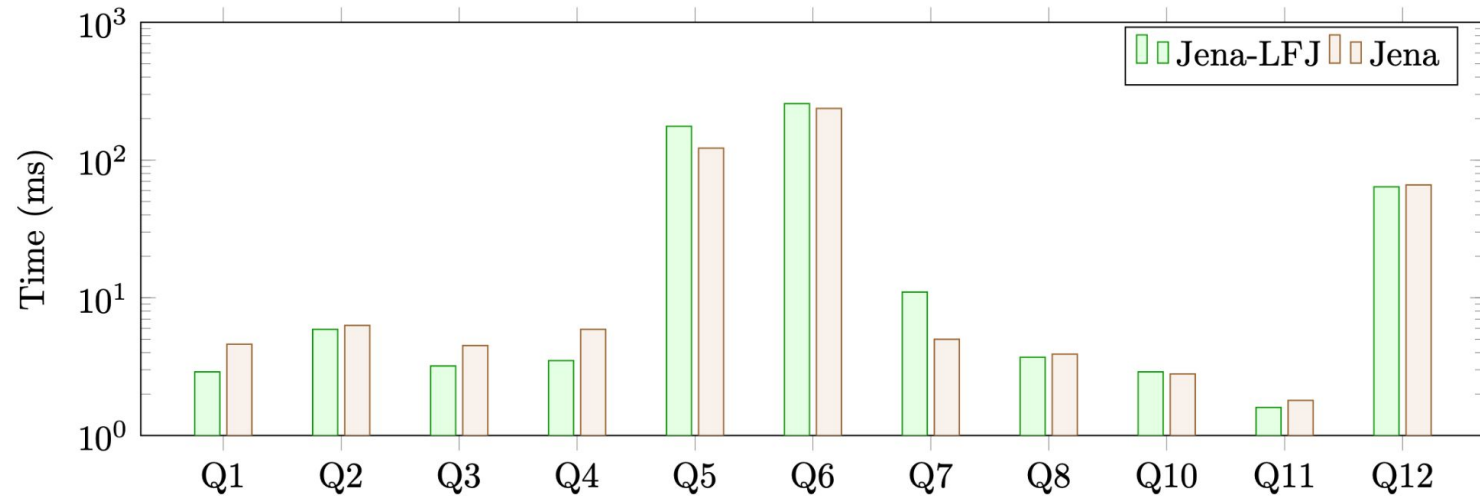


Fig. 6.2. Plot of runtimes for queries of the Berlin Benchmark with log y -axis.

Resultados - WatDiv Benchmark

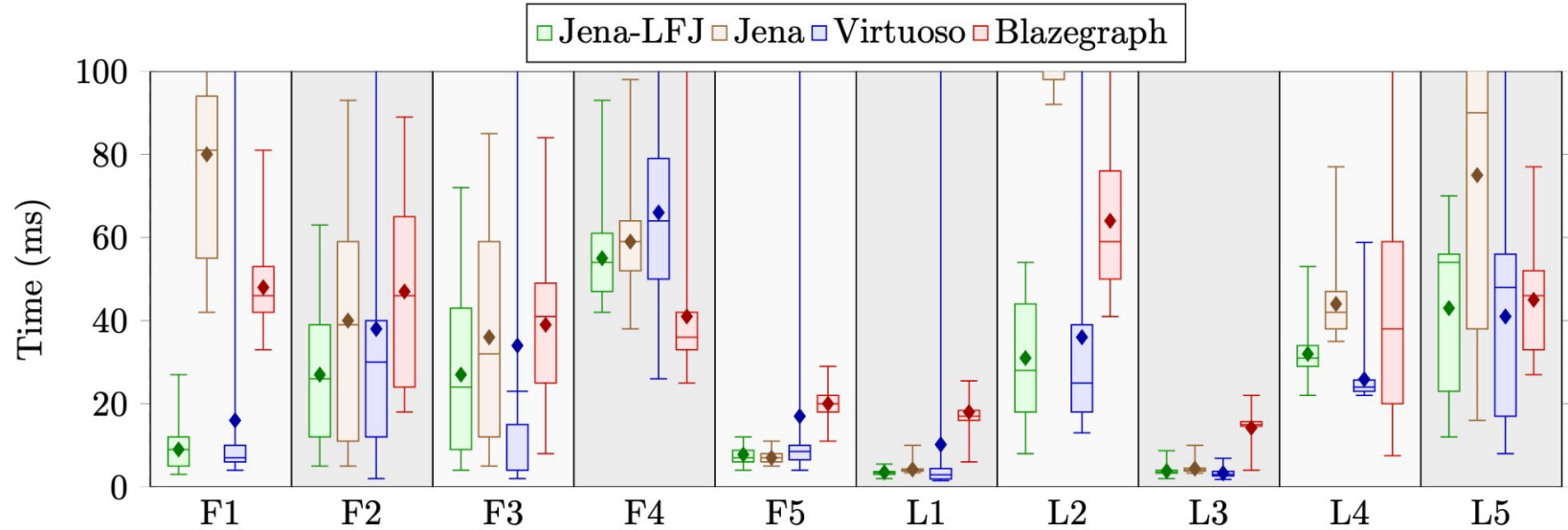


Fig. 6.3. Box plots of runtimes for queries L and F of the WatDiv Benchmark.

Resultados - WatDiv Benchmark

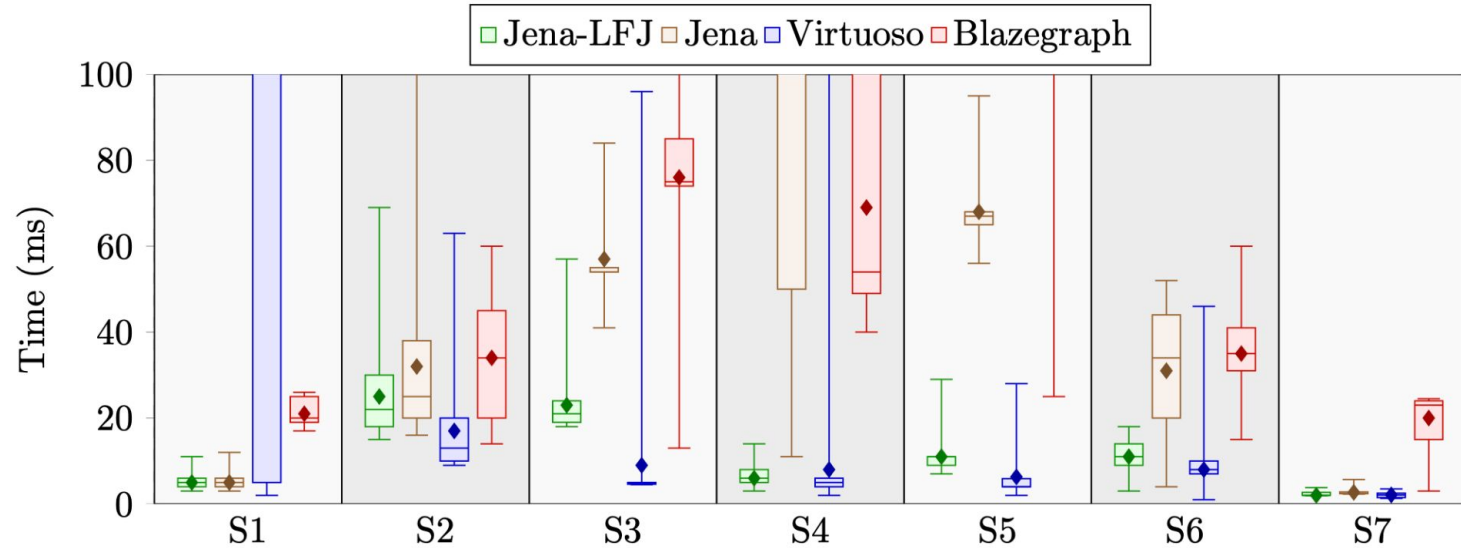


Fig. 6.4. Box plots of runtimes for queries S of the WatDiv Benchmark

Resultados - WGPB

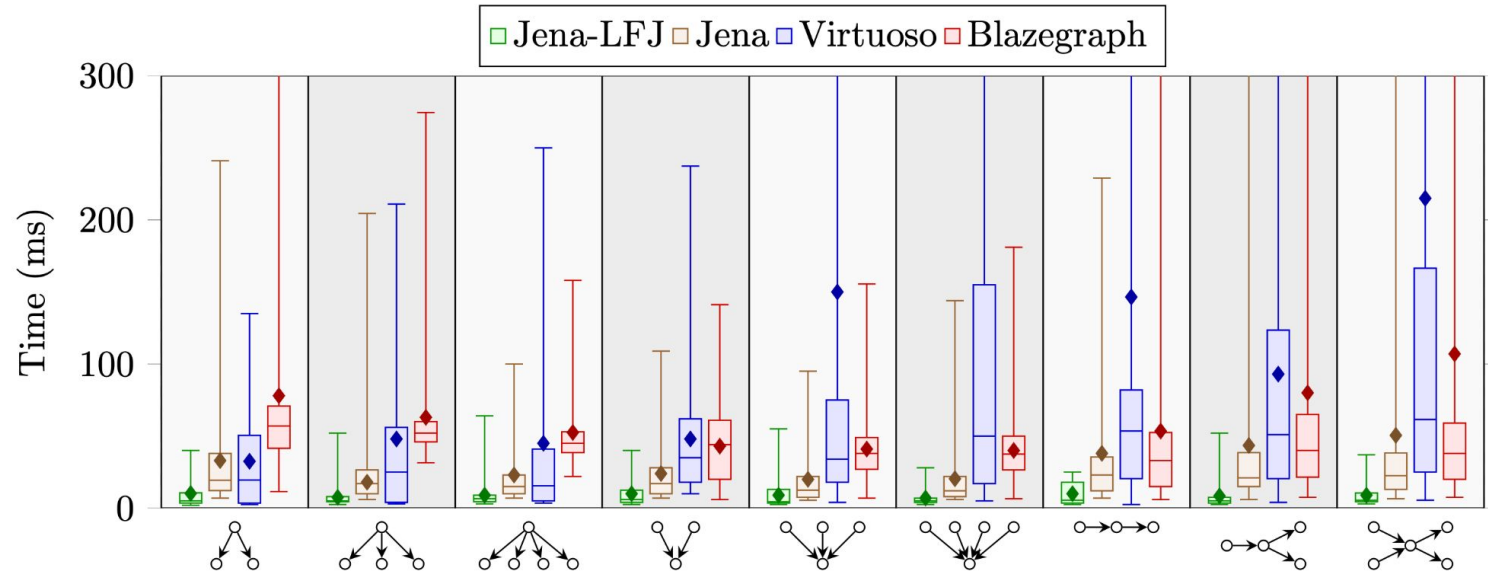


Fig. 6.6. Box plots of runtimes for queries with a single join variable

Resultados - WGPB

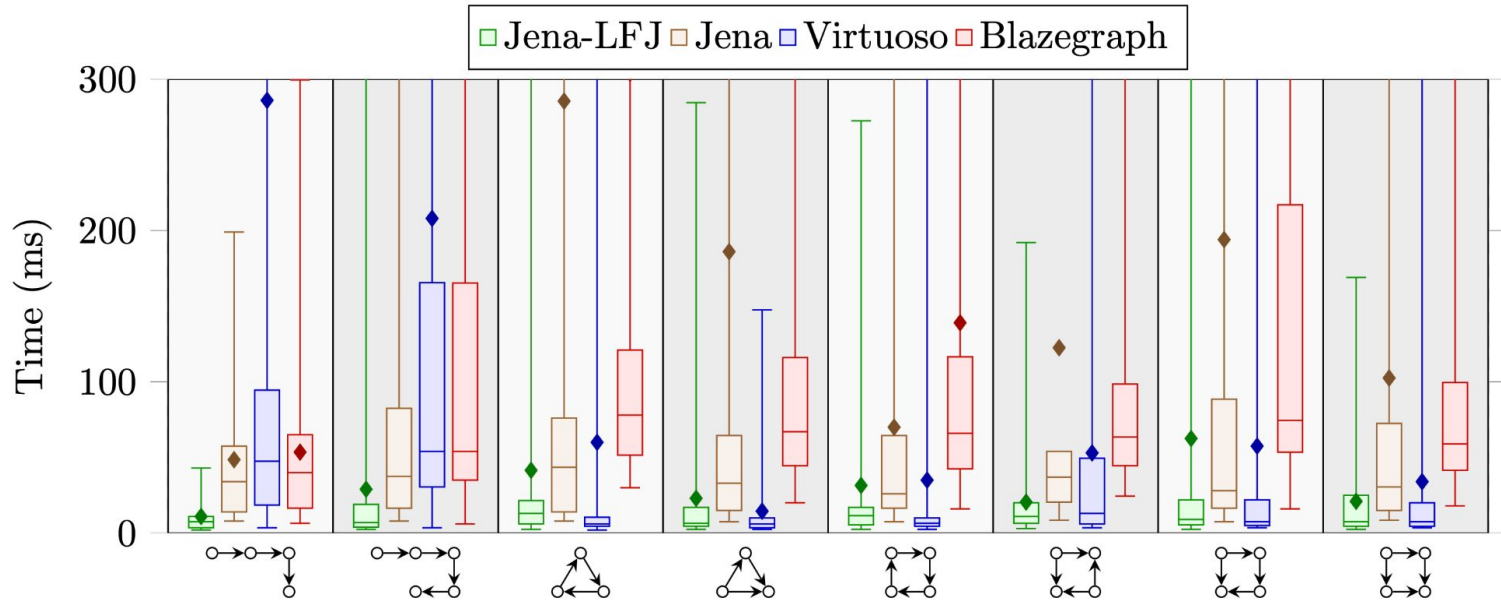


Fig. 6.7. Box plots of runtimes for queries with multiple join variables

Conclusiones



- Primera implementación de un algoritmo *worst-case optimal* en el contexto de SPARQL.
- Los resultados deben ser considerados puntos de partida en el área.
- Se identifican 3 líneas de posibles trabajos futuros:
 - Potenciales beneficios de otros algoritmos WCO sobre SPARQL
 - Formas efectivas de elegir el orden de variables
 - Optimizaciones de otros operadores de SPARQL (ej: Property Paths)

Bibliografía



- [1] Hogan, Riveros, Rojas, Soto. (2019). *A Worst-Case Optimal Join Algorithm for SPARQL*.
- [2] Veldhuizen. (2012). *Leapfrog Triejoin: A Simple, Worst-Case Optimal Join Algorithm*.
- [3] Erling, Mikhailov. (2009). *RDF Support in the Virtuoso DBMS*.
- [4] Thompson, Personick, Cutcher. (2014). *The Bigdata® RDF Graph Database*.
- [5] Apache Jena. <https://jena.apache.org/>. Accessed on 2018-12-30.